

УДК 538.221; 537.628.5

©1994

**МАГНИТНЫЕ СВОЙСТВА КВАЗИДВУМЕРНЫХ  
МАГНЕТИКОВ  $(\text{CH}_3\text{NH}_3)_2\text{Cu}_{1-x}\text{Mn}_x\text{Cl}_4$   
С КОНКУРИРУЮЩИМИ ОБМЕНАМИ  
И АНИЗОТРОПИЯМИ**

*C. С. Аплеснин, Н. В. Федосеева*

В кристаллах  $(\text{CH}_3\text{NH}_3)_2\text{Mn}_x\text{Cu}_{1-x}\text{Cl}_4$  с  $x = 0, 0.1, 0.2, 0.3, 0.5$  исследовано изменение магнитного момента от внешнего магнитного поля и температуры. Обнаружена смещенная петля гистерезиса при  $x \geq 0.2$ . Методом Монте-Карло в модели узлов с конкурирующими обменами, анизотропиями и антисимметричным обменом вычислены фазовые диаграммы неупорядоченного ферро-, антиферромагнетика суперпарамагнетика на плоскости температура Кюри(Нееля)-концентрация. Определены параметр обмена  $J_{\text{MnCu}} = 2.5$  K, критическая концентрация перехода ферромагнетик-антиферромагнетик  $x_c = 0.4$ , критическая концентрация образования слабого момента и смещенной петли гистерезиса при  $x > 0.16$ .

Магнитные соединения  $\text{C}_2\text{Cu}_{1-x}\text{Mn}_x\text{Cl}_4$  (здесь  $\text{C} = \text{CH}_3\text{NH}_3$ ) являются хорошими аналогами двумерных магнитных систем. Путем замещения магнитных ионов удается управлять типом магнитного порядка, температурой магнитного упорядочения, анизотропными свойствами. Так, изменяя величину  $x$  ( $0 < x < 1$ ), можно осуществить переход от ферромагнитного порядка к антиферромагнитному, от анизотропии типа «легкая плоскость» к анизотропии типа «легкая ось» [1]. Соединение  $\text{C}_2\text{CuCl}_4$  является ферромагнетиком ( $\Phi\text{M}$ ) типа «легкая плоскость» с температурой Кюри  $T_c = 8.9$  K, а  $\text{C}_2\text{MnCl}_4$  — антиферромагнетиком ( $\text{A}\Phi\text{M}$ ) с внутри- и межплоскостным антиферромагнитным взаимодействием, со слабым спонтанным моментом с антисимметричным взаимодействием, легкой осью анизотропии и  $T_N = 45$  K [2].

На этих соединениях можно проверить ряд положений теоретических расчетов для неупорядоченных двумерных систем, таких как существование спинового стекла в двумерных системах, угловой фазы, влияние величины спина на фазовый переход угловая фаза-коллинеарная [3–6]. Другой аспект проблемы состоит в том, как относятся критические концентрации разрушения дальнего порядка и слабого спонтанного момента в неупорядоченном  $\text{A}\Phi\text{M}$ .

## 1. Экспериментальные результаты

Кристаллы выращивались растворным методом. Идентичность составов подтверждалась рентгенографически. Структура состоит из плоских слоев  $MnCl_4$ , разделенных двумя слоями органических метиламиновых групп ( $CH_3NH_3$ ). В каждом слое ионы переходных металлов находятся в октаэдре из атомов галогена и образуют почти правильную квадратную решетку. В элементарной ячейке содержатся четыре формульные единицы и, следовательно, четыре магнитных иона. Одиночные перовскитоподобные слои, связанные в трехмерный каркас, при понижении температуры искажаются за счет взаимных разворотов октаэдров, и в области магнитного порядка кристаллы имеют моноклинную симметрию. Измерения проводились на автокомпенсационном вибрационном магнитометре со сверхпроводящим соленоидом в полях до 60 кОе в температурном интервале 4.2–300 К.

Согласно имеющимся данным [7],  $C_2CuCl_4$  можно считать хорошим двумерным ФМ с обменом  $I/k = 19.2$  К, анизотропией типа «легкая плоскость» (~ 1% от обмена) и температурой Кюри  $T_c = 8.9$  К. Магнитные статические исследования, такие как изменение намагниченности с температурой во внешнем поле, приложенном в «легкой плоскости» (рис. 1, a) и перпендикулярно ей (рис. 1, b), зависимости намагниченности от внешнего магнитного поля (рис. 2, a) подтвердили предложенную магнитную структуру [8].

С ростом концентрации атомов марганца восприимчивость в поле  $H \parallel C$  растет до  $x = 0.2$ , затем уменьшается. На рис. 3, a изображена восприимчивость для разных составов в близких по величинам полях в зависимости от нормированной температуры. Для  $x = 0.5$  и температур  $T > 20$  К температурное поведение восприимчивости имеет особенности: дополнительные точки перегиба и «горбы», которые остаются при повторных измерениях (рис. 3, b). При  $T > 110$  К  $1/\chi(T)$  подчиняется закону Кюри–Вейсса. Поле насыщения также растет, изменяясь

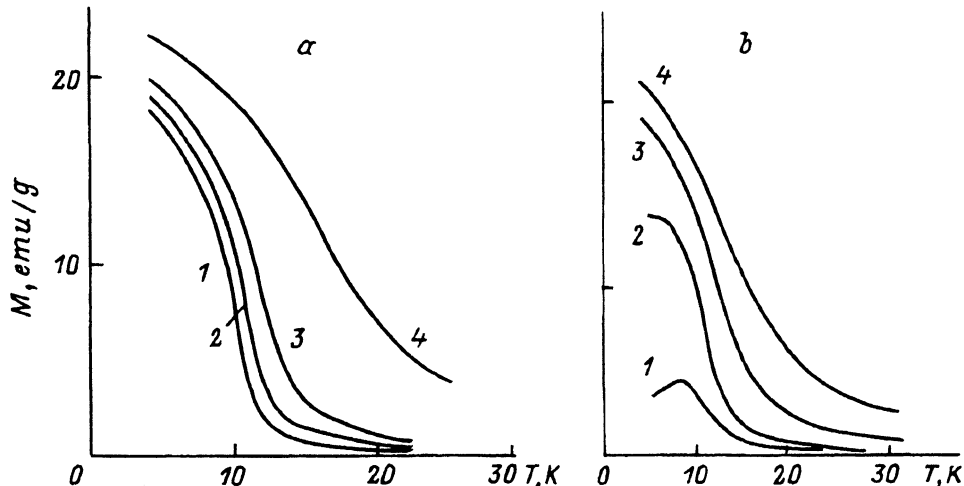


Рис. 1. Температурная зависимость магнитного момента  $C_2CuCl_4$  при a)  $H \perp C$ ,  $H = 0.123(1)$ ,  $0.4(2)$ ,  $1.12(3)$ ,  $10$  кОе(4) и при b)  $H \parallel C$ ,  $H = 0.213(1)$ ,  $1.1(2)$ ,  $3.1(3)$ ,  $10.6$  кОе(4).

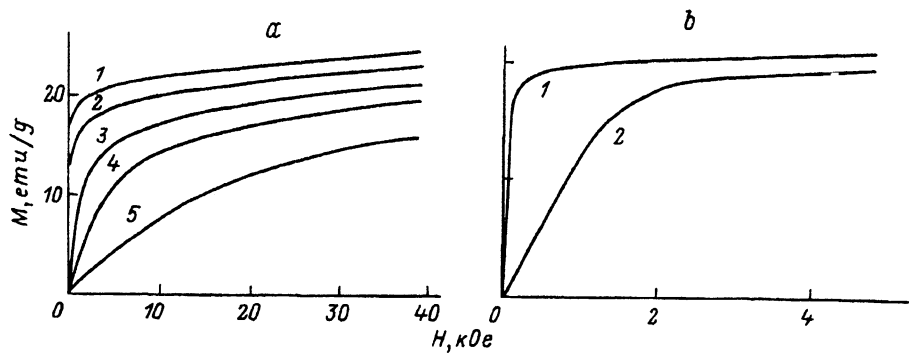


Рис. 2. Изменение магнитного момента  $C_2Mn_xCu_{1-x}Cl_4$  в зависимости от внешнего магнитного поля при а)  $H \perp C$ ,  $x = 0$ ,  $T = 4.2(1)$ ,  $2.8(2)$ ,  $12(3)$ ,  $15(4)$ ,  $20\text{ K}(5)$  и при б)  $T = 4.2\text{ K}$ ,  $x = 0.5$ ,  $H \perp C(1)$ ,  $H \parallel C(2)$ .

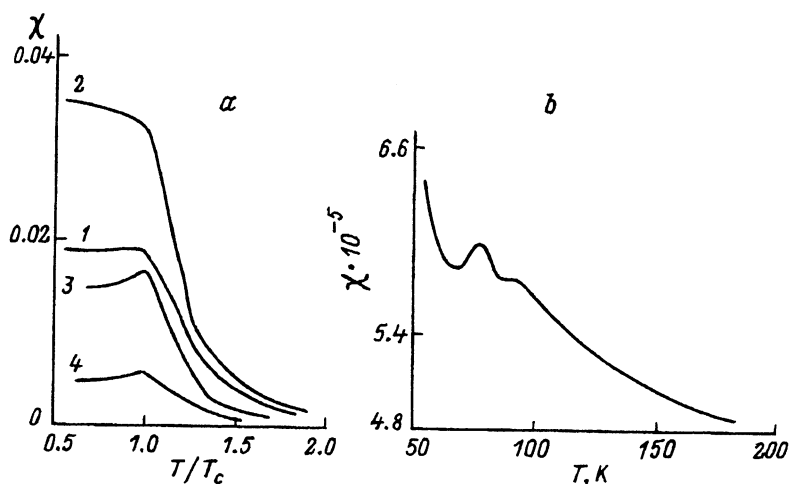


Рис. 3. Зависимость магнитной восприимчивости твердого раствора при  $H \parallel C$ ,  $H = 410\text{ Oe}$ ,  $x = 0.1(1)$ ,  $420\text{ Oe}$ ,  $x = 0.2(2)$ ,  $625\text{ Oe}$ ,  $x = 0.3(3)$ ,  $460\text{ Oe}$ ,  $x = 0.5(4)$  от нормированной температуры  $T/T_c$ (а) и  $H = 460\text{ Oe}$ ,  $x = 0.5$ (б).

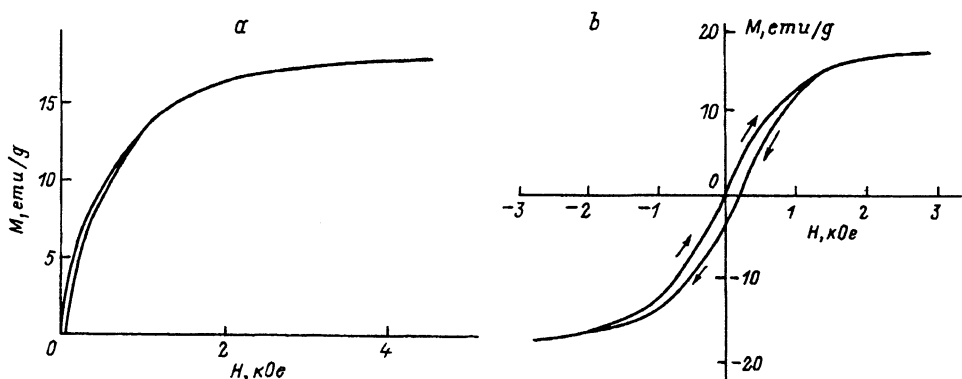


Рис. 4. Петли гистерезиса твердого раствора при  $H \parallel C$  для  $x = 0.2$ (а),  $x = 0.3$ (б),  $T = 4.2\text{ K}$ .

от  $H_c = 0.6$  кОе для  $C_2CuCl_4$  до  $H_c = 3$  кОе в  $C_2Mn_{0.5}Cu_{0.5}Cl_4$ , и уменьшается намагниченность насыщения на 20% (рис. 2). При увеличении концентрации  $Mn^{2+}$  до  $x \geq 0.2$  появляется смещенная петля гистерезиса (рис. 4), парамагнитная температура  $\Theta$  достигает максимума при  $x = 0.1$ , соответственно изменяясь от  $\Theta(K) = 34, 70, 30, -24, -140$  для  $x = 0, 0.1, 0.2, 0.3, 0.5$ .

## 2. Модель

Магнитные свойства  $C_2Mn_xCu_{1-x}Cl_4$  промоделируем на двумерной решетке со случайным замещением магнитных атомов; так, ионы меди, расположенные в узлах решетки, случайным образом замещаются ионами марганца. Поскольку обменное взаимодействие между плоскостями много меньше анизотропии обмена в плоскости, то в формирование дальнего порядка и термодинамику основной вклад вносит поле анизотропии. Гамильтониан имеет вид

$$H = - \sum_{\gamma=1}^3 \sum_{\alpha, \beta=Mn, Cu} I_{\alpha\beta}^{\gamma\gamma} \sum_{ih} P_\alpha(i) P_\beta(i+h) S_\alpha^\gamma(i) S_\beta^\gamma(i+h) - \sum_{\gamma=1}^2 \sum_{\beta=Mn} \sum_{ih} D^\gamma \times \\ \times [S_\beta(i) S_\beta(i+h)]_\gamma P_\beta(i) P_\beta(i+h) - \sum_{\gamma=1}^3 \sum_{\beta=Mn, Cu} \sum_i H^\gamma(i) S_\beta^\gamma(i) P_\beta(i), \quad (1)$$

где  $I_{\alpha\beta}^{\gamma\gamma}$  — константы анизотропного обменного взаимодействия ( $\gamma = x, y, z$ ) между ближайшими соседями:  $I_{MnMn} < 0$ ,  $I_{CuCu} > 0$ ;  $D^\gamma$  — константа антисимметричного взаимодействия между ионами марганца, имеющего два инварианта ( $\gamma = x, z$ );  $H$  — внешнее магнитное поле;  $S_\alpha^\gamma$  — компонента классического спина с длиной  $S_{Cu} = 1 \mu_B$ ,  $S_{Mn} = 5 \mu_B$ . Оператор проектирования  $P_\alpha(i)$  равен единице на узле, занятом спином  $S_\alpha$ , и нулю в прочих случаях.

В вычислениях используем метод Монте-Карло [9] с периодическими и зеркальными граничными условиями на плоской решетке размером  $N = 60 \times 60$  и  $80 \times 80$ . Вычислялись намагниченности по трем направлениям элементарной ячейки, параметр Эдвардса-Андерсона, спин-спиновые корреляционные функции как по всей системе, так и по подсистеме, состоящей только из атомов марганца и меди, восприимчивость  $X = M/H$  и теплоемкость  $C = dE/dT$ . Все вычисляемые величины нормированы и даны в безразмерных единицах.

Оба исходных соединения  $C_2CuCl_4$  и  $C_2MnCl_4$  относятся к моноклинной фазе в магнитоупорядоченной области, и естественно предположить, что в твердых растворах кристаллическая симметрия не меняется, параметры билинейного и антисимметричного взаимодействия между Mn-Mn и Cu-Cu остаются прежними, нормированы на  $|I^{yy}(Mn-Mn)| = 5$  К и соответственно равны

$$I^{zz}(Mn-Mn) = -1.05, \quad I^{yy}(Mn-Mn) = -1, \quad I^{xx}(Mn-Mn) = -1.02,$$

$$I^{zz}(Cu-Cu) = 3.7, \quad I^{yy}(Cu-Cu) = 3.85, \quad I^{xx}(Cu-Cu) = 3.86, \quad D = -0.05.$$

В вычислениях используется один параметр  $I(Mn-Cu)$  или  $\lambda = I(Mn-Cu)/|I^{yy}(Mn-Mn)|$ .

### 3. Обсуждение результатов

Чтобы решить вопрос о взаимодействии марганцевой и медной подсистем, о знаке обмена  $I(\text{Mn}-\text{Cu})$ , рассмотрим сначала упрощенную модель изотропных обменов с небольшой анизотропией типа «легкая ось». Выделим вклад конкуренции обмена на фазовую диаграмму. В рамках этой модели вычислим спин-спиновые корреляционные функции, параметр Эдвардса-Андерсона и определим фазовую диаграмму основного состояния на плоскости  $(x-\lambda)$  концентрация-отношение обменов  $\lambda$  (рис. 5).

Если знак обменного взаимодействия  $I(\text{Mn}-\text{Cu}) < 0$ , то область ферромагнитного порядка резко уменьшается. Это связано с тем, что обменное поле между спинами марганца очень сильное  $h_{\text{Mn}} = z_1 S_{\text{Mn}} I(\text{Mn}-\text{Mn}) > h_{\text{Cu}} = z_2 S_{\text{Cu}} I(\text{Cu}-\text{Cu})$  и каждый второй спин Mn в кластере создает фрустрированную область обменных связей  $I(\text{Mn}-\text{Cu})$ . Из-за этого соседние спины ионов меди сильно отклоняются от направления спинов матрицы. Когда обменное поле  $h = z_3 S_{\text{Cu}} I(\text{Cu}-\text{Mn})$  ( $z_i$  — число ближайших спинов Mn или Cu) сравняется по величине с  $h_{\text{Mn}}$ , то критическая концентрация разрушения дальнего ФМ порядка достигнет минимального значения  $x_c = 0.045 \pm 0.005$  и дальше не меняется, так как одна АФМ связь между Mn-Mn образует в матрице девять фрустрированных ФМ взаимодействий Cu-Cu, что приводит к перевороту большого кластера порядка сотни спинов на ионах меди. Область АФМ практически не меняется для  $\lambda \leq 1$ , так как  $h_{\text{Mn}} \gg h$  и спины Mn практически не взаимодействуют со спинами меди. Критическая концентрация разрушения АФМ  $x_c = 0.6$  совпадает с концентрацией протекания  $x_c = 0.61$  [10]. При  $h_{\text{Mn}} \sim h$  все взаимодействия между ионами меди становятся фрустрированными, что значительно уменьшает область АФМ. В промежуточной области концентраций реализуется состояние спинового стекла либо суперпарамагнитное, поскольку сохраняется ближний порядок, и для выяснения конкретной фазы необходимо провести температурное вычисление термодинамических характеристик.

Изменение знака обмена  $I(\text{Mn}-\text{Cu}) > 0$  качественно меняет фазовую диаграмму (рис. 5), приводит к увеличению магнитоупорядоченных областей. Для  $\lambda < 2$  и  $h < h_{\text{Cu}}$  обмены  $I(\text{Mn}-\text{Cu})$  фрустрированы и спи-

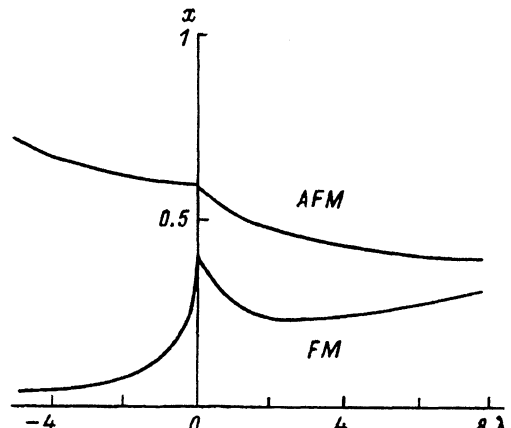


Рис. 5. Фазовая диаграмма неупорядоченного магнетика типа «легкая ось» в модели узлов на плоскости концентрация-отношение обменов  $\lambda = I(\text{Mn}-\text{Cu})/|I(\text{Mn}-\text{Mn})|$ .

ны марганца в кластерах деполяризуют соседние спины меди, уменьшая ферромагнитную область. Кластеры с нечетным числом спинов ионов марганца выстраиваются по направлению магнитного момента ФМ и увеличивают критическую концентрацию  $x_c$  в отличие от модели, когда  $I(\text{Mn}-\text{Cu}) < 0$ . Для  $\lambda > 3$  образуются фрустрированные связи между Mn-Mn, т.е. спины ионов марганца образуют спин-флоп конфигурации с результирующим моментом, величина которого растет с ростом  $\lambda$  и совпадает с направлением ФМ. Для  $\lambda \geq 10$  с ростом концентрации марганца ФМ переходит в АФМ, минуя промежуточную фазу. Из полученной фазовой диаграммы экспериментальным данным лучше соответствует положительный знак обмена между Mn-Cu.

Теперь исследуем полную модель, описываемую гамильтонианом (1), с положительным обменом  $I(\text{Mn}-\text{Cu}) > 0$ . При замещении атомов меди атомами марганца спины с четным числом ионов марганца в кластере скашиваются по направлению спонтанного момента медной матрицы, а с нечетным числом спинов — ложатся в плоскость, если обменное поле на границе кластера превышает поле анизотропии всех спинов в АФМ кластере и фрустрированное обменное поле. Это приводит к небольшому увеличению намагниченности порядка 2–5% (рис. 6, a), вектор которого лежит вдоль «легкой оси»  $OX$ . Слабый момент, образованный антисимметричным обменом, сначала образуется вдоль оси  $c$  при  $x \geq 0.16$ , затем в плоскости по  $OX$  при  $x > 0.2$  (рис. 6, b). Чтобы уменьшить погрешность вычисления  $M_{x,z}$ , вычислим методом Монте-Карло намагниченность по трем осям при  $T/|I(\text{Mn}-\text{Mn})| = 1.5$  для  $D = 0$  и  $D = -0.05$  и разность между ними. Так как с ростом  $x$  вектор антиферромагнетизма сначала ложится в плоскость, параметр Эдвардса-Андерсона  $q^x > 1$ ,  $q^z \ll 1$  и параметр ближнего порядка по продольным компонентам становится отрицательным  $\langle S^z(0)S^z(1) \rangle < 0$  при  $x \geq 0.16$  (рис. 7), то из-за действия инвариантного  $[S_1S_2]_z$  образуется  $M_z$ . Затем вектор АФМ кластеров выходит из базисной плоскости при  $x > 0.2$  и индуцируется  $M_x$ . Векторы АФМ  $\mathbf{l}_{\text{AF}}$  ионов марганца образует веер в некотором интервале углов, средняя плотность которых максимальна при  $x \cong 0.3$  для  $l_{\text{AF}}^x \cong l_{\text{AF}}^z$ , поэтому спонтан-

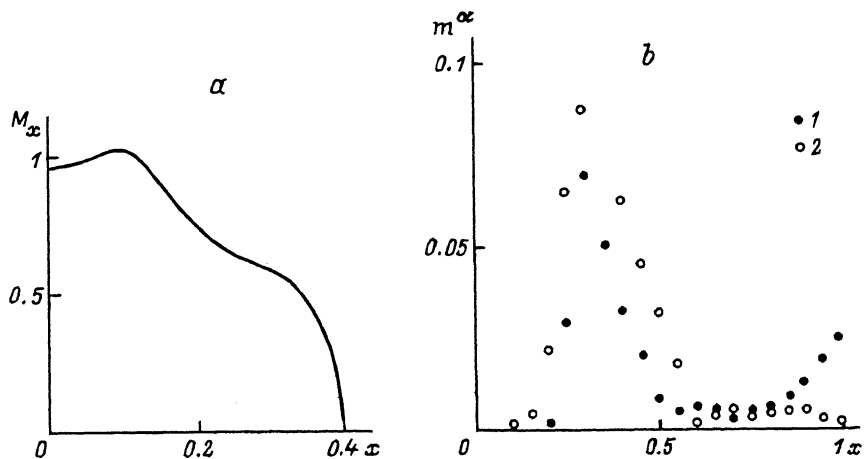


Рис. 6. Намагниченность неупорядоченного ФМ  $M_x$  (a) и слабый спонтанный момент  $m^\alpha$  ( $\alpha = x(1)$ ,  $z(2)$ ) (b) в зависимости от концентрации  $x$ ,  $\lambda = 1$ .

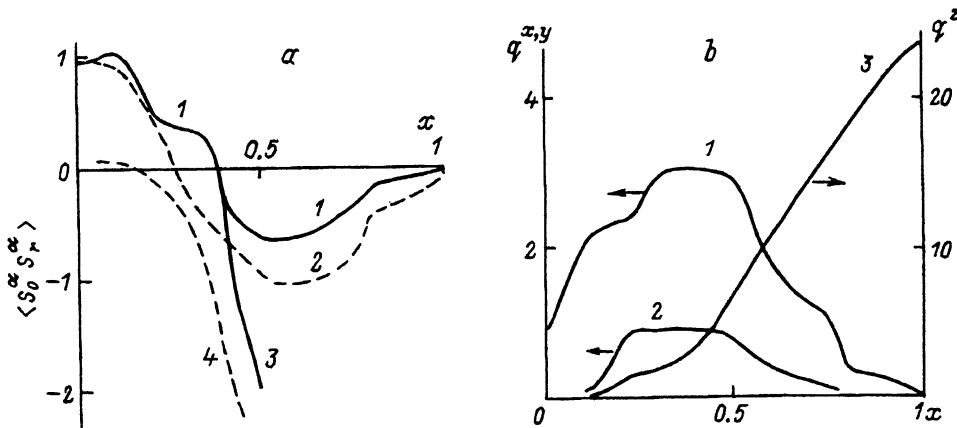


Рис. 7. Спин-спиновые корреляционные функции  $\langle S^\alpha(0)S^\alpha(r) \rangle$  ( $\alpha = x(1,2)$ ,  $z(3,4)$ ) на расстоянии  $r/a = 1(2,4)$ ,  $40(1,3)$  (а) и параметр Эдвардса-Андерсона  $q^\alpha$  ( $\alpha = x(1)$ ,  $y(2)$ ,  $z(3)$ ) (б) в зависимости от концентрации  $x$ ,  $\lambda = 1$ .

ный момент АФМ подсистемы имеет максимум при этой концентрации (рис. 6). С увеличением концентрации  $x > 0.3$  происходит разворот веера к направлению «легкой оси» момента Mn вдоль оси  $OZ$  и возрастает среднее эффективное соотношение  $D/I_{cp}$ . Ранее [2] нами была вычислена критическая величина  $D_c = 0.3$  для АФМ, у которого исчезает дальний порядок и спонтанный момент выше этого значения. Эти факторы способствуют уменьшению  $M_{x,z}$  для  $x > 0.3$ . При этих концентрациях ближний порядок в плоскости становится отрицательным  $\langle S^x(0)S^x(r=1) \rangle < 0$  (рис. 7, а).

При  $x > 0.4$  исчезает дальний ферромагнитный порядок и образуется АФМ, у которого  $I_{AF}$  расположен под углом к оси  $OZ$  и по продольным, и по поперечным компонентам спина существует дальний АФМ порядок, как видно из рис. 7,  $\langle S^{x,z}(0)S^{x,z}(r=40) \rangle \ll 0$ . Для  $x > 0.8$  слабый момент в плоскости возрастает и магнитная структура идентична  $C_2MnCl_4$ . Вычисление спин-спиновой корреляционной функции

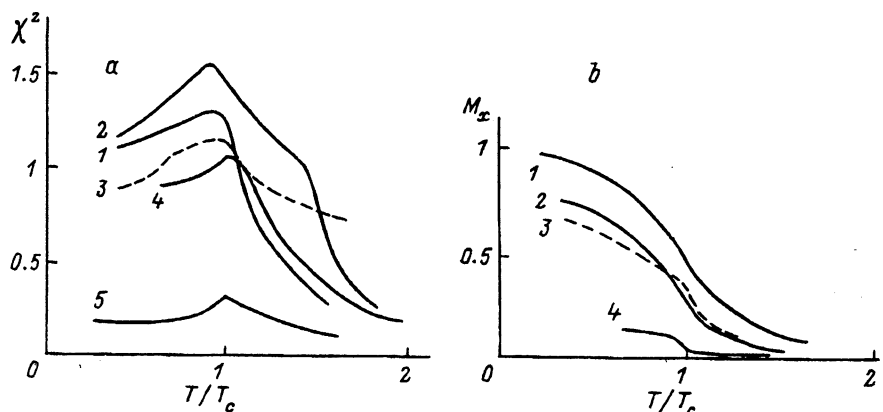


Рис. 8. Восприимчивость неупорядоченного магнетика с  $\lambda = 0.5$  в поле  $H/[J(Mn-Mn)] = 0.1$  для  $H \parallel C$  (а) и намагниченность в плоскости (б) для  $x = 0(1)$ ,  $0.2(2)$ ,  $0.3(3)$ ,  $0.5(4)$ ,  $0.7(5)$  в зависимости от нормированной температуры  $T/T_c$ .

на ионах меди в интервале  $0.45 \leq x \leq 0.6$  дает средний размер ФМ области в базисной плоскости соответственно от  $12a$  до  $5a$  постоянных решетки. По продольным компонентам на спинах меди индуцируется спинами марганца АФМ порядок.

Методом Монте-Карло вычислялась восприимчивость для ряда составов в зависимости от нормированной температуры (рис. 8). Поведение  $\chi(T)$  качественно согласуется с экспериментальными данными (рис. 2). Так, для небольших  $x$  характерно увеличение значения восприимчивости, и при  $x > 0.2$   $\chi(T)$  уменьшается и в области высоких температур  $T > T_c$  существует дополнительная точка перегиба  $\chi(T)$ , связанная с разрушением ближнего порядка спинов марганца. Для  $x = 0.5$  эта температура согласуется с экспериментально определенной величиной  $T/T_N = 2.5$ , при которой разрушается ближний порядок в цепочках Mn, т.е. когда к спину марганца приходит и уходит только одна связь  $I(\text{Mn}-\text{Mn})$ . Это приводит к увеличению крыльев теплоемкости для  $T > T_c$  (рис. 9) по сравнению с магнетиками, имеющими  $x = 0$  и  $x = 1$ . В неупорядоченном ФМ при  $x > 0.25$  и  $T < T_c$  существует переход, связанный с изменением знака ближнего порядка в плоскости от АФМ к ФМ, т.е.  $\langle S^x(0)S^x(r=1) \rangle < 0$  при  $T < T_0$ . Этот переход сопровождается перегибом  $\chi(T)$  и дополнительным максимумом теплоемкости (рис. 9). В АФМ фазе разрушение ближнего порядка медной подсистемы при  $T < T_N$  также образует небольшой максимум  $C(T)$  (вставка на рис. 9).

На рис. 10 приведена зависимость намагниченности от поля, приложенного перпендикулярно плоскости, для разных концентраций. Эти данные качественно согласуются с экспериментом (рис. 3). Намагниченность насыщения для ФМ с  $x = 0.1$  при  $H \perp C$  незначительно возрастает, так как спины марганца в нечетных кластерах выстраиваются по направлению внешнего поля. При  $x > 0.1$  величины  $M(H)$  уменьшаются. Поскольку при  $x > 0.16$  образуется слабый момент в АФМ кластерах, это приводит к образованию смещенной петли гистерезиса

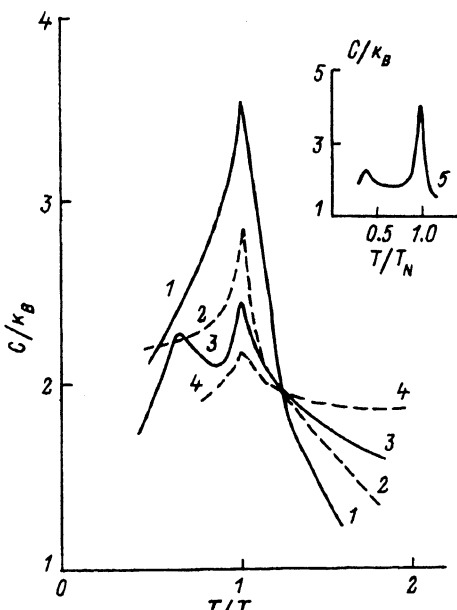


Рис. 9. Теплоемкость неупорядоченного магнетика для  $x = 0(1), 0.2(2), 0.3(3), 0.5(4), 0.7(5)$  в зависимости от нормированной температуры  $T/T_c$  с  $\lambda = 0.5$ .

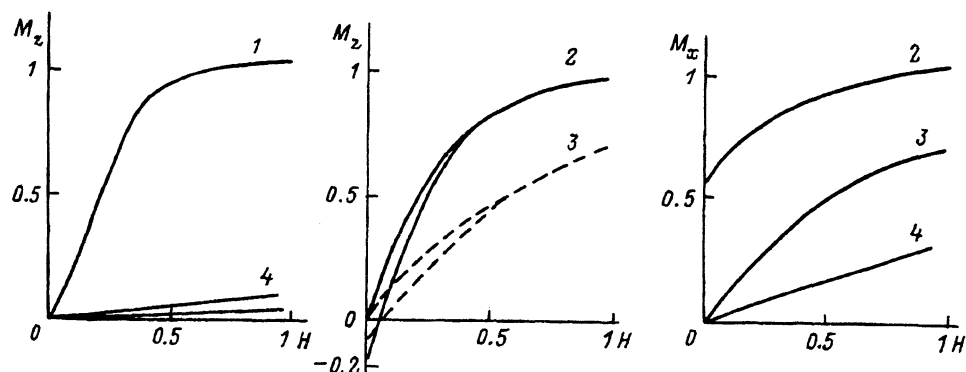


Рис. 10. Зависимость магнитного момента неупорядоченного магнетика с  $\lambda = 1$  при  $T_0/[I(Mn-Mn)] = 1.5$  от внешнего поля  $H = H_0/[I(Mn-Mn)]$  для  $x = 0.1(1)$ ,  $0.3(2)$ ,  $0.5(3)$ ,  $0.7(4)$  при  $H \parallel C$ ,  $M_z$ ;  $H \perp C$ ,  $M_x$ .

вследствие односторонней анизотропии антисимметричного обмена. Кривые намагничивания, вычисленные из двух исходных конфигураций ФМ и АФМ, не совпадают между собой в определенном интервале полей для  $H \parallel C$ , и для  $H \perp C$  гистерезис отсутствует для всех концентраций. По-видимому, этот механизм обуславливает экспериментально наблюдаемые смещенные петли гистерезиса (рис. 4). Ширина гистерезиса пропорциональна энергии антисимметричного обмена. В неупорядоченном АФМ для  $x > 0.55$  и  $H \parallel C$  гистерезис появляется в конечных внешних магнитных полях (рис. 10).

Фазовые диаграммы, вычисленные методом Монте-Карло для твердых растворов с разными положительными значениями обменов  $\lambda$ , приведены на рис. 11. Когда обмен между Mn-Cu отсутствует, критические температуры  $T_c$ ,  $T_N$  практически линейно изменяются с концентрацией. С ростом величины обмена  $0 < \lambda < 1$  увеличивается температура Кюри неупорядоченного ФМ, и при смене дальнего порядка ФМ-АФМ при  $x = 0.4$  на фазовой диаграмме имеется минимум, а при

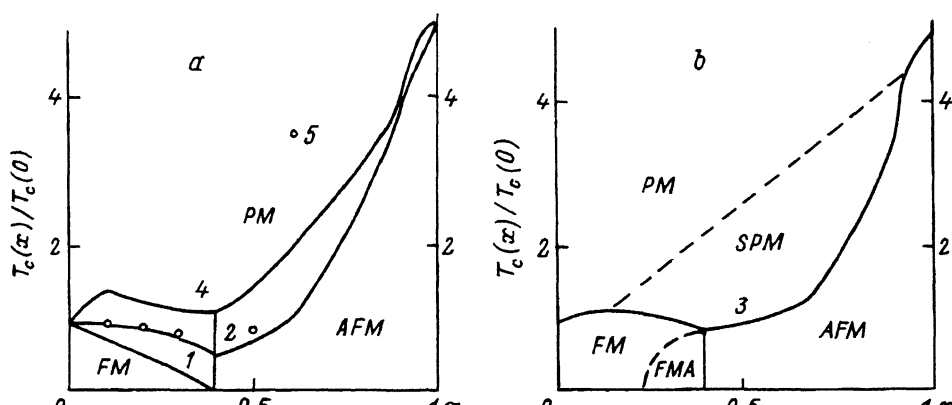


Рис. 11. Фазовые диаграммы неупорядоченного ферромагнетика ( $\Phi\text{МА} = \text{FMA}$ ) и ( $\Phi\text{М} = \text{FM}$ ), имеющие соответственно близкий порядок типа АФМ и ФМ, антиферромагнетика (АФМ = AFM), суперпарамагнетика (СПМ = SPM) на плоскости критическая температура Кюри(Нееля)—концентрация ионов марганца  $x$  для  $\lambda = 0(1)$ ,  $0.5(2)$ ,  $1(3)$ ,  $4(4)$ .  
5 — эксперимент.

$x = 0.6$  — точка перегиба, связанная с геометрическим протеканием ионов марганца. Для  $\lambda \geq 1$  и малых концентраций меди  $x > 0.9$ , когда взаимодействием ионов меди между собой можно пренебречь, фрустрированные связи отсутствуют и изменение  $T_N(x)$  пропорционально величине обмена  $I(\text{Mn}-\text{Cu})$ . При образовании кластеров меди образуются фрустрированные взаимодействия  $I(\text{Cu}-\text{Cu})$ , что приводит к резкому уменьшению температуры Нееля от концентрации меди. Если  $I(\text{Mn}-\text{Cu})$  сравним по величине с  $I(\text{Mn}-\text{Mn})$ , то  $T_c$  неупорядоченного ФМ возрастает по сравнению с исходным ФМ  $T_c(x=0)/I_{\text{CuCu}} = 3.2$ .

В области высоких температур в интервале  $0.2 \leq x \leq 0.9$  существуют суперпарамагнетик, который переходит в парафазу при температурах, изображенных на рис. 11 штриховыми линиями. Спиновое стекло в этой модели и в экспериментальных результатах отсутствует, так же как и угловая фаза, характеризуемая разными типами порядка ФМ и АФМ по поперечным и продольным компонентам спина. Существуют всего две фазы ФМ и АФМ, имеющие глобальную симметрию исходных компонент твердого раствора. В неупорядоченном ФМ при  $x > x_c$  локальная симметрия отличается от макроскопической, и в этой области концентраций существуют переходы по температуре, связанные с изменением типа ближнего порядка (штриховая линия на рис. 11). Из сравнения экспериментальных данных  $T_c(x)$  с теоретически вычисленными зависимостями критических температур выберем величину обмена  $\lambda = 0.5$ .

Итак, в неупорядоченных соединениях  $\text{C}_2\text{Cu}_{1-x}\text{Mn}_x\text{Cl}_4$  отсутствует состояние спинового стекла и фазовые переходы угловая-коллинеарная фазы. Смена типа дальнего порядка ФМ-АФМ происходит при  $x_c = 0.4$ , а образование слабого спонтанного момента и смещённой петли гистерезиса вследствие антисимметричного обмена между ионами марганца — при  $x > 0.16$ . Обмен между спинами ионов марганца и меди равен  $I(\text{Mn}-\text{Cu}) = 2.5$  К.

### Список литературы

- [1] Федосеева Н.В., Королев В.К., Бовина А.Ф., Перепилица А.П. // Сб. «Физические свойства магнетиков». Красноярск, ИФ СО АН СССР, 1990. С. 61–81.
- [2] Федосеева Н.В., Аплеснин С.С., Николаев Е.М. // ФТТ. 1994. Т. 36. № 9. С. 2609–2617.
- [3] Bray A.J., Moore M.A. // J. Phys. C: Solid St. Phys. 1985. V. 18. N 6. P. L139–L143.
- [4] Briescor G., Usadel K.D. // J. Phys. C: Sol. St. Phys. 1986. V. 19. N 18. P. 3413–3420.
- [5] Иванов М.А., Локтев В.М., Погорелов Ю.Г. // ФТТ. 1985. Т. 27. № 2. С. 367–370.
- [6] Aplesnin S.S. // Phys. Stat. Sol (b). 1988. V. 149. N 1. P. 267–273.
- [7] Yamasaki H. // J. Phys. Soc. Japan. 1976. V. 41. N 6. P. 1911–1917.
- [8] Демокритов С.О., Крейнс Н.М., Кудинов В.И., Петров С.В., Чубуков А.В. // ЖЭТФ. 1988. Т. 94. № 12. С. 283–292.
- [9] Binder K. (ed). Monte-Carlo Methods in Statistical Physics. Springer Verlag, Berlin, 1979. 361 p.
- [10] Киркпатрик С. // Теория и свойства неупорядоченных материалов. М.: Мир, 1977. С. 249–291.

Институт физики  
им. Л.В. Киренского СО РАН  
Красноярск

Поступило в Редакцию  
29 марта 1994 г.